

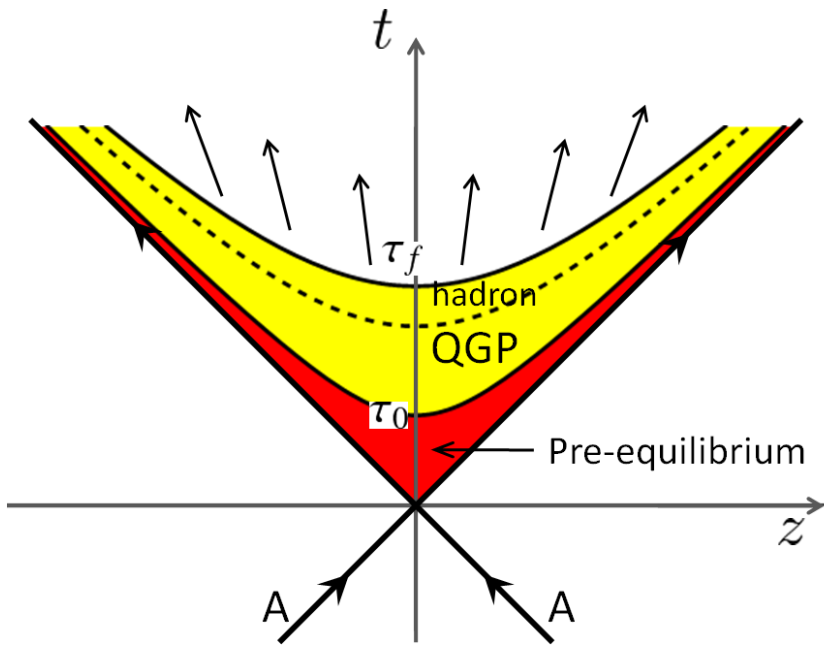
ブースト不变に膨張する電場のもとでの Schwinger機構

丹治 直人
高エネルギー加速器研究機構 (KEK)

基研研究会 熱場の量子論とその応用
2011年8月23日

Introduction

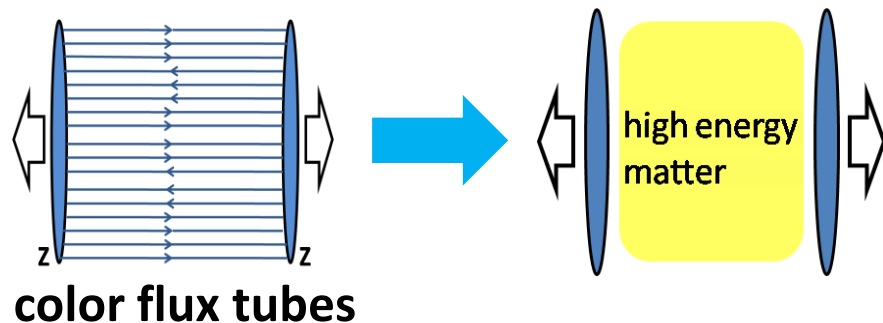
重イオン衝突初期過程における時空発展



- カラーフラックスチューブモデル
- カラーグラス凝縮



ビーム軸方向を向いたカラー電場

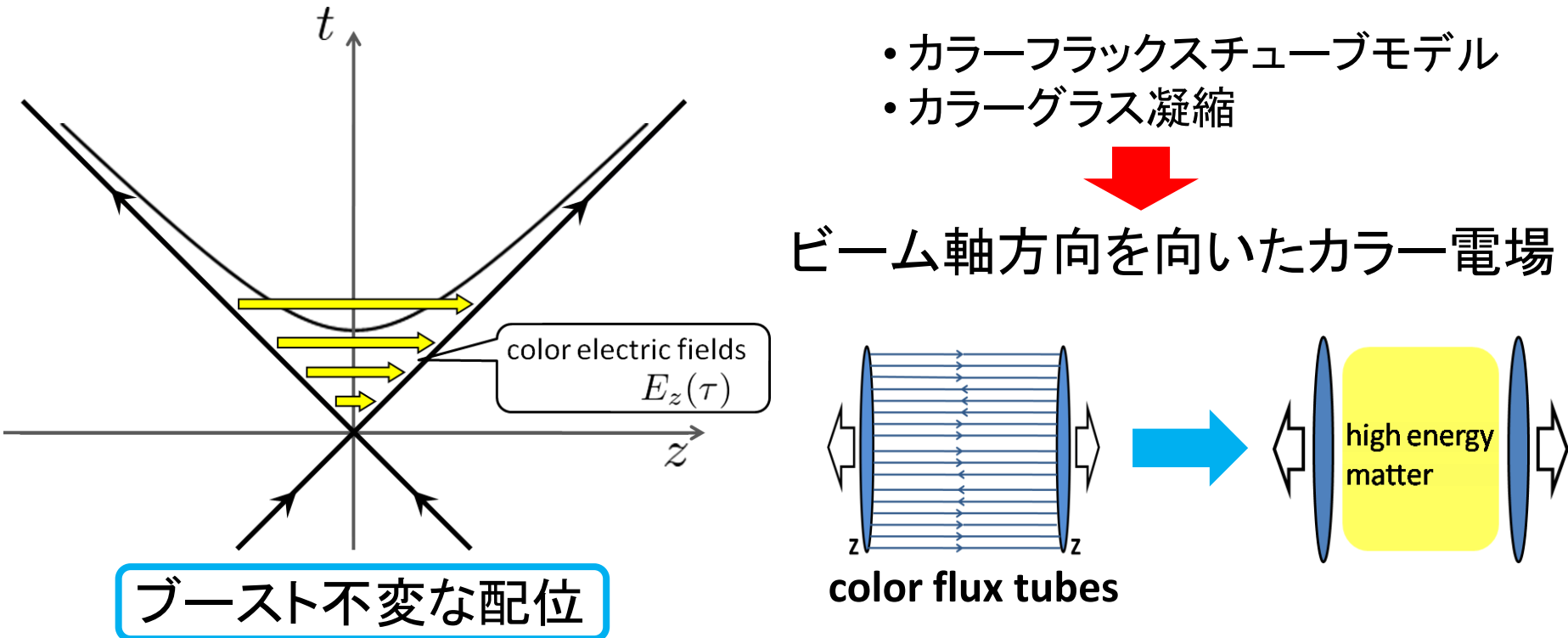


コヒーレントな電場から如何にしてプラズマが生成されるか？

Schwinger機構による非摂動論的粒子対生成

Introduction

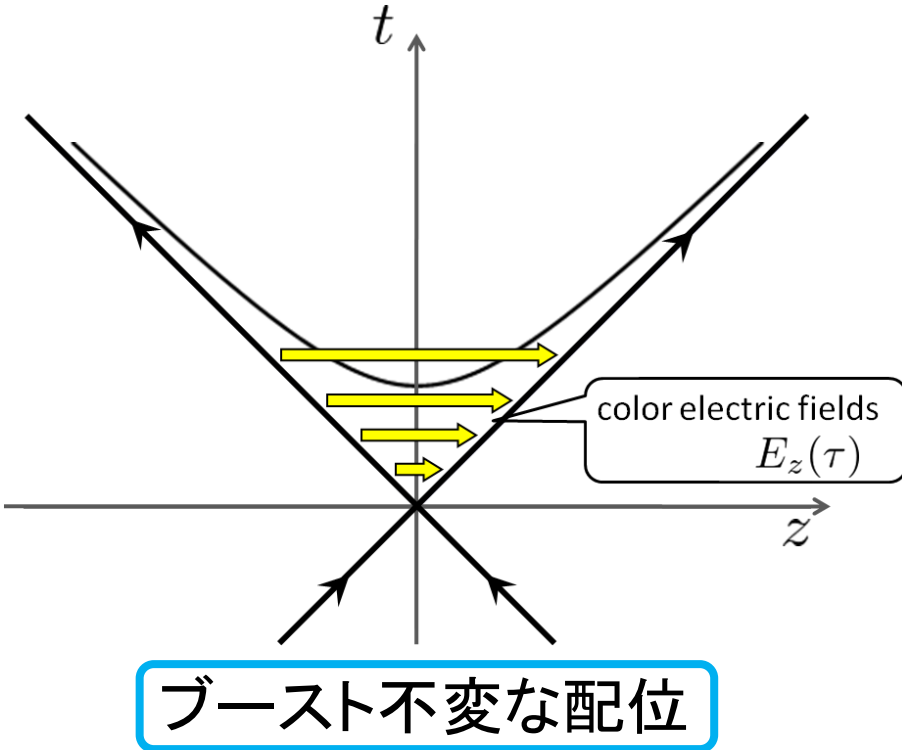
重イオン衝突初期過程における時空発展



コヒーレントな電場から如何にしてプラズマが生成されるか？

Schwinger機構による非摂動論的粒子対生成

ブースト不变に膨張する電場からの粒子対生成



ブースト不变に膨張する電場



ブースト不变に膨張する流体(QGP)

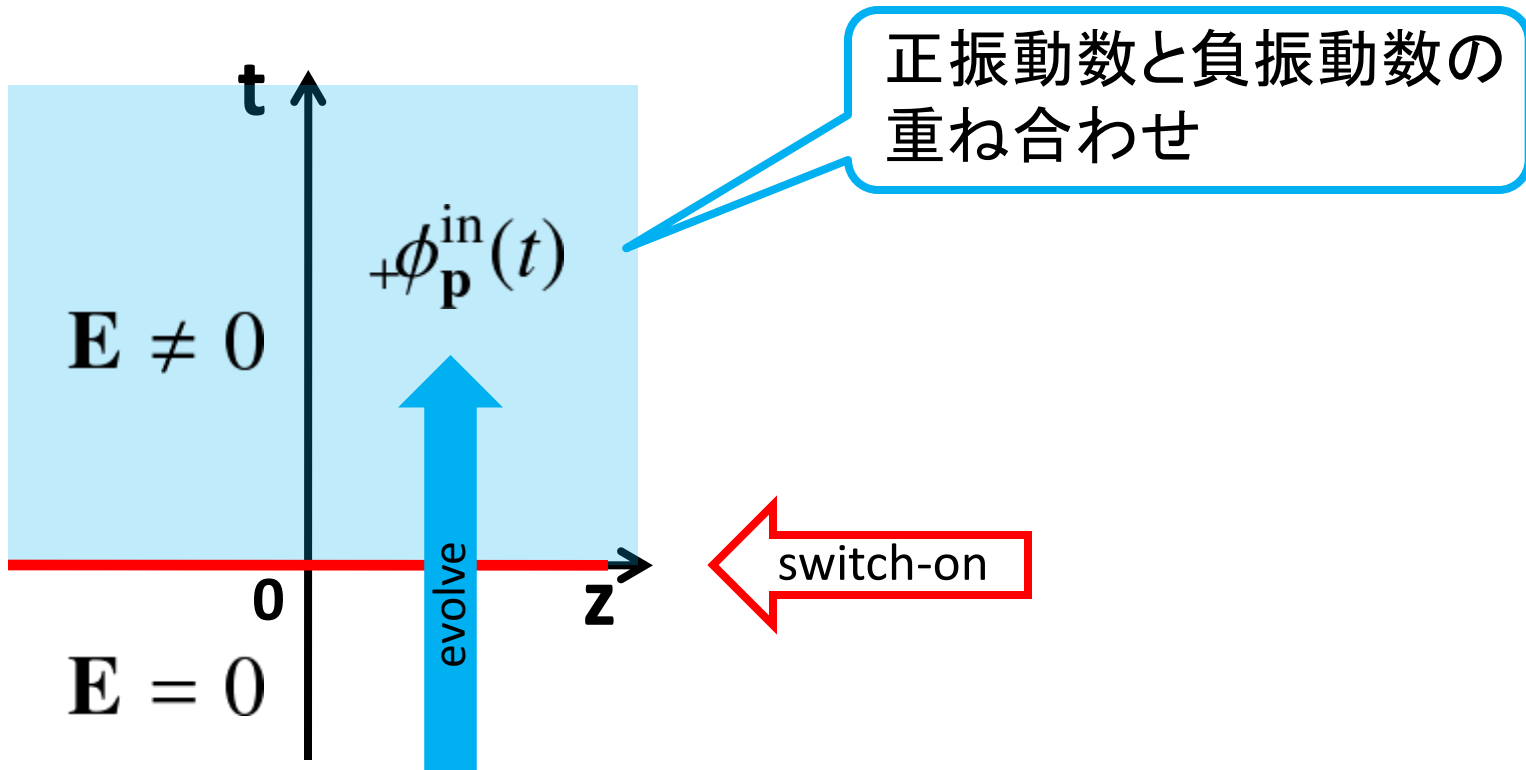
Bjorken's flow (the scaling flow)

$$v_z = \frac{z}{t}$$

ブースト不变な配位

対生成のダイナミクスはどのような変更を受けるか？

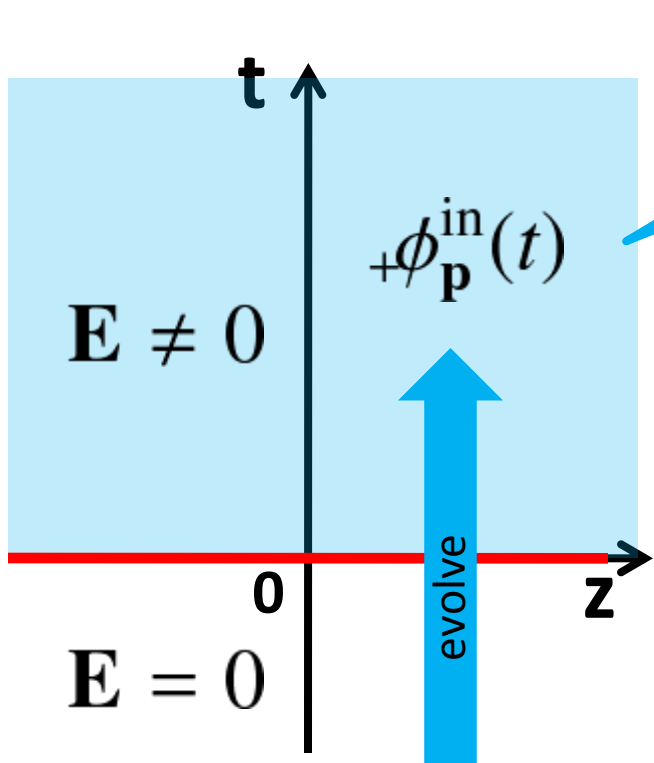
Quantization in background fields



$$+\phi_p^{\text{in}}(t) = \frac{1}{\sqrt{2\omega_p}} e^{-i\omega_p t}$$

正振動数の解

Quantization in background fields



正振動数と負振動数の
重ね合わせ

時間に依存したBogoliubov変換

$$a_{\mathbf{p}}(t) = \alpha_{\mathbf{p}}(t)a_{\mathbf{p}}^{in} + \beta_{\mathbf{p}}(t)b_{-\mathbf{p}}^{in\dagger}$$

$$b_{-\mathbf{p}}^{\dagger}(t) = \alpha_{\mathbf{p}}^*(t)b_{-\mathbf{p}}^{in\dagger} + \beta_{\mathbf{p}}^*(t)a_{\mathbf{p}}^{in}$$

$$+\phi_{\mathbf{p}}^{in}(t) = \frac{1}{\sqrt{2\omega_p}}e^{-i\omega_p t}$$

$$\begin{aligned} f_{\mathbf{p}}(t) &= \langle 0, in | a_{\mathbf{p}}^{\dagger}(t) a_{\mathbf{p}}(t) | 0, in \rangle \frac{(2\pi)^3}{V} \\ &= \langle 0, in | b_{-\mathbf{p}}^{\dagger}(t) b_{-\mathbf{p}}(t) | 0, in \rangle \frac{(2\pi)^3}{V} \\ &= |\beta_{\mathbf{p}}(t)|^2 \end{aligned}$$

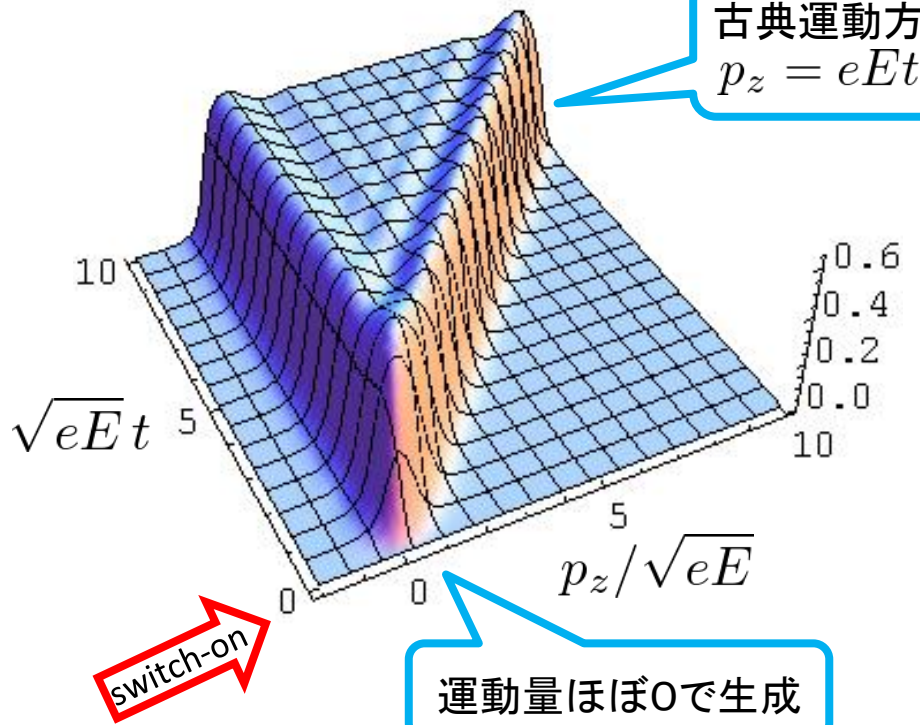
is non-zero.

分布関数(相空間密度) $f_{\mathbf{p}}(t) = (2\pi)^3 \frac{dN}{d^3x d^3p} = \langle 0, \text{in} | a_{\mathbf{p}}^\dagger(t) a_{\mathbf{p}}(t) | 0, \text{in} \rangle \frac{(2\pi)^3}{V}$ の時間発展

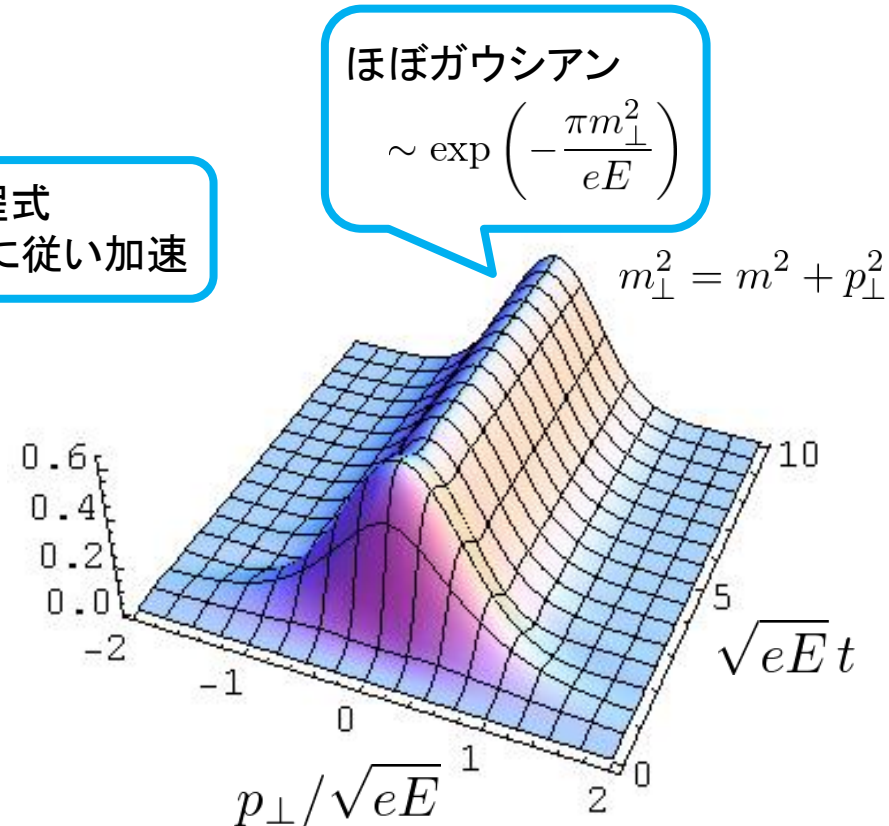
- 空間一様・定電場

- QED

- $\frac{m^2}{2eE} = 0.1$



longitudinal momentum distribution
($p_{\perp} = 0$)

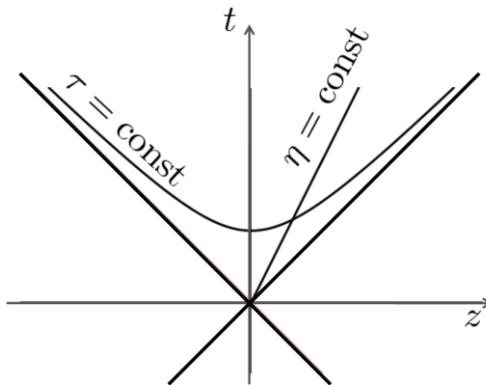


transverse momentum distribution
($p_z / \sqrt{eE} = 1$)

曲がった座標の上の場の量子化

τ - η 座標

$$\begin{cases} \tau = \sqrt{t^2 - z^2} \\ \eta = \frac{1}{2} \ln \frac{t+z}{t-z} \end{cases}$$



ブースト不変性 \longleftrightarrow η の並進不変性

\rightarrow η に共役な運動量 λ を固有状態にもつた粒子が生成される

λ の固有状態と通常の運動量の固有状態の生成・消滅演算子の関係

$$a_\lambda = \frac{1}{\sqrt{2\pi}} \int \frac{dp_z}{\sqrt{\omega_p}} e^{-i\lambda y_p} a_p$$

$$b_\lambda^\dagger = \frac{1}{\sqrt{2\pi}} \int \frac{dp_z}{\sqrt{\omega_p}} e^{-i\lambda y_p} b_p^\dagger \quad y_p = \frac{1}{2} \ln \frac{\omega_p + p_z}{\omega_p - p_z}$$

分布関数(相空間密度)

$$f_{\mathbf{p}_\perp, \lambda}(\tau) = (2\pi)^3 \frac{dN}{d^2x_\perp d\eta d^2p_\perp d\lambda}$$

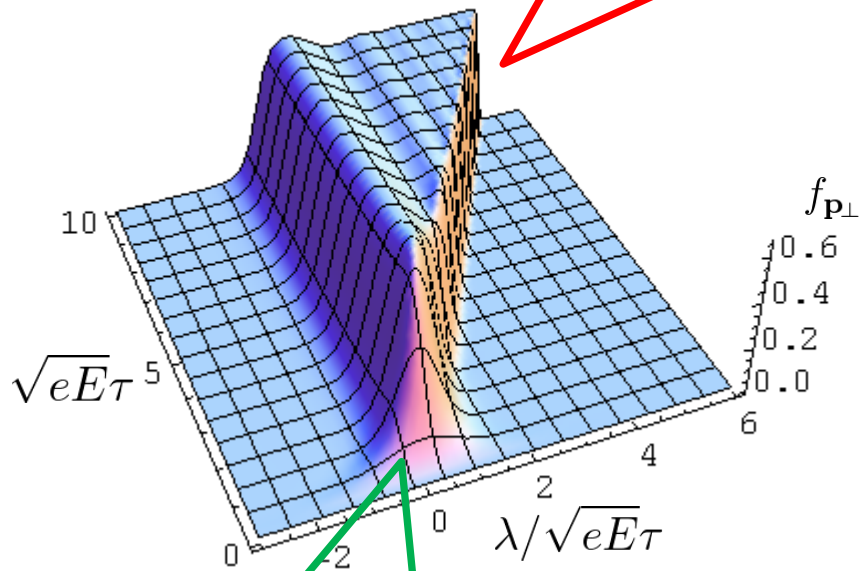
$$= \langle 0, \text{in} | a_{\lambda, \mathbf{p}_\perp}^\dagger(\tau) a_{\lambda, \mathbf{p}_\perp}(\tau) | 0, \text{in} \rangle \frac{\tau (2\pi)^3}{V}$$

の時間発展

- 定電場 $E_z(\tau) = \text{const.}$
- QED
- $a = 0.1$

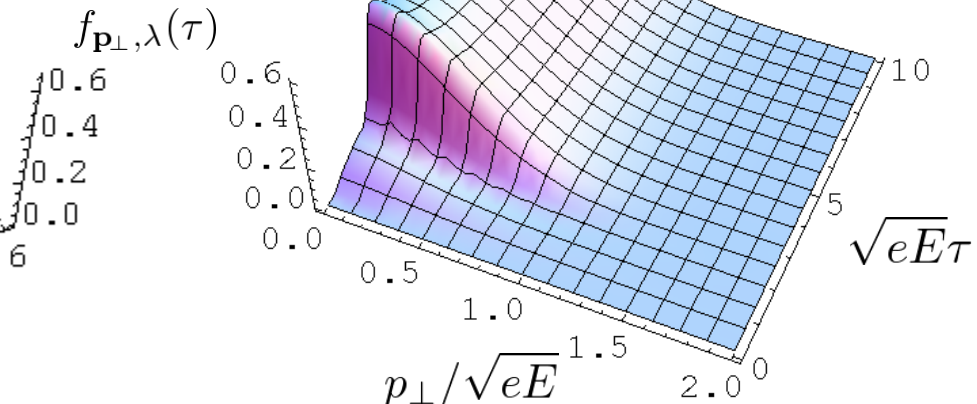
古典運動方程式

$$\frac{\lambda}{\tau} = \frac{1}{2} eE\tau \text{ に従い加速}$$



longitudinal momentum distribution

ほぼガウシアン
 $\exp\left(-\frac{\pi m_\perp^2}{eE}\right)$



transverse momentum distribution

“運動量”ほぼ0で生成

空間一様な場合と同じような振る舞い

分布関数(相空間密度)

$$f_{\mathbf{p}_\perp, \lambda}(\tau) = (2\pi)^3 \frac{dN}{d^2x_\perp d\eta d^2p_\perp d\lambda}$$

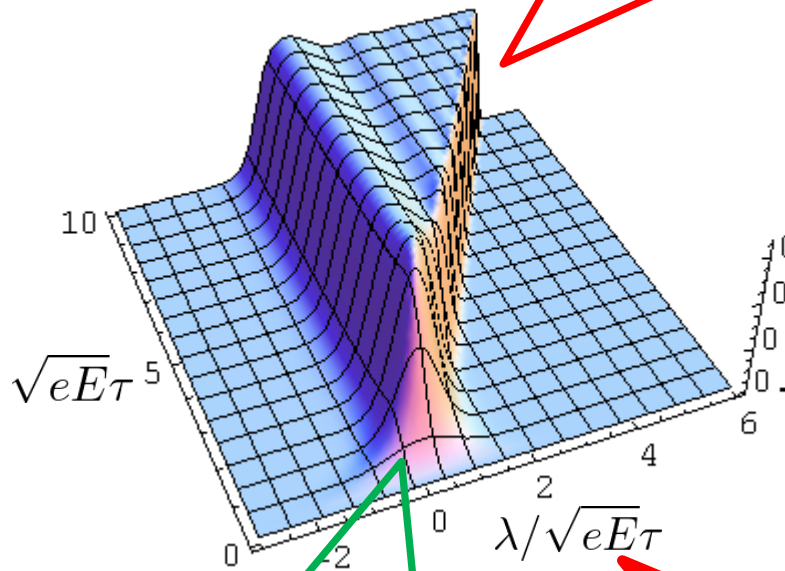
$$= \langle 0, \text{in} | a_{\lambda, \mathbf{p}_\perp}^\dagger(\tau) a_{\lambda, \mathbf{p}_\perp}(\tau) | 0, \text{in} \rangle \frac{\tau (2\pi)^3}{V}$$

の時間発展

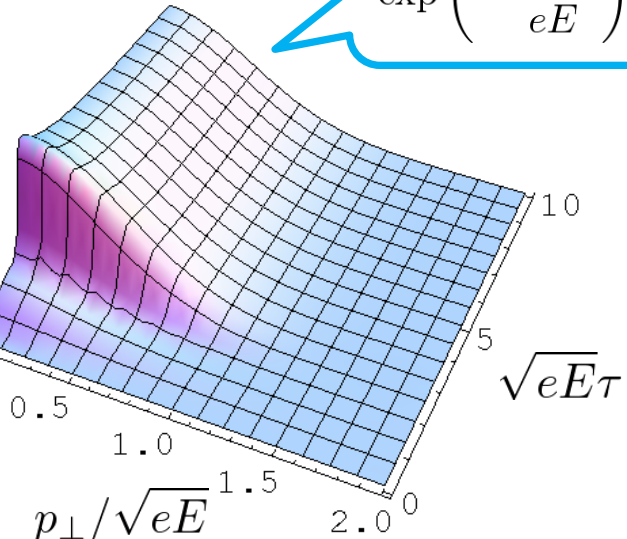
- 定電場 $E_z(\tau) = \text{const.}$
- QED
- $a = 0.1$

古典運動方程式

$$\frac{\lambda}{\tau} = \frac{1}{2} eE\tau \text{ に従い加速}$$



“運動量”ほぼ0で生成



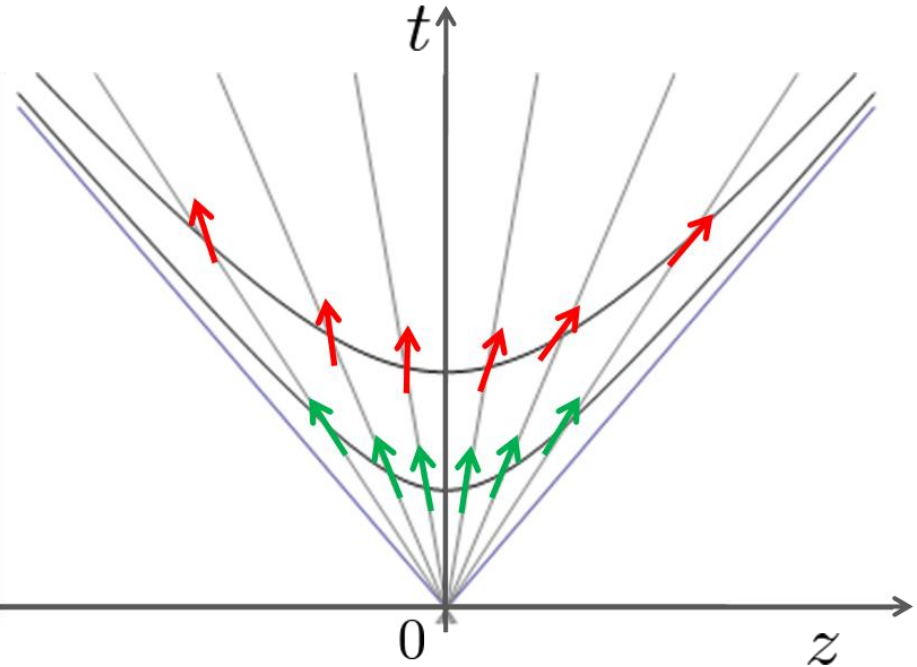
ほぼガウシアン
 $\exp\left(-\frac{\pi m_\perp^2}{eE}\right)$

longitudinal momentum distribution

空間一様な分布に向じよノンガウシアン

運動量の物理的意味が違う

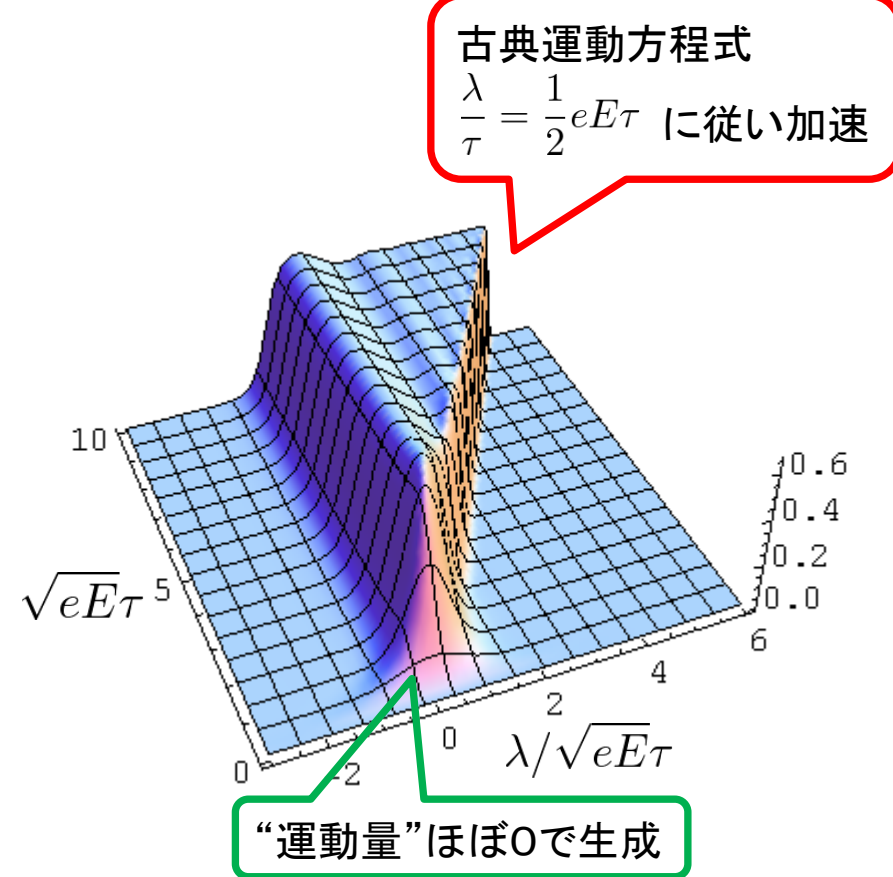
λ/τ は速度 $v_z = z/t$ で動く系で観測した運動量



① 運動量0で生成

→ Bjorken's flowと同じ速度分布
で生成される $v_z = z/t$

② 電場による加速で速度分布が
スケーリング分布からずれる

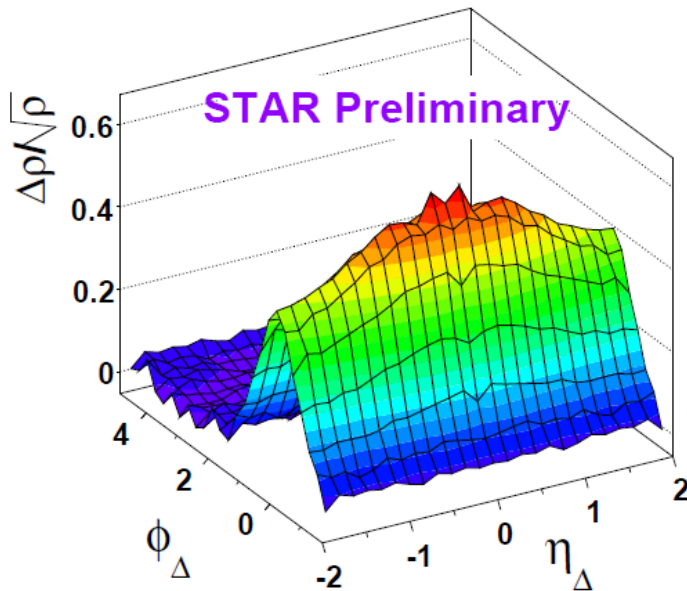


longitudinal momentum distribution
in moving frame

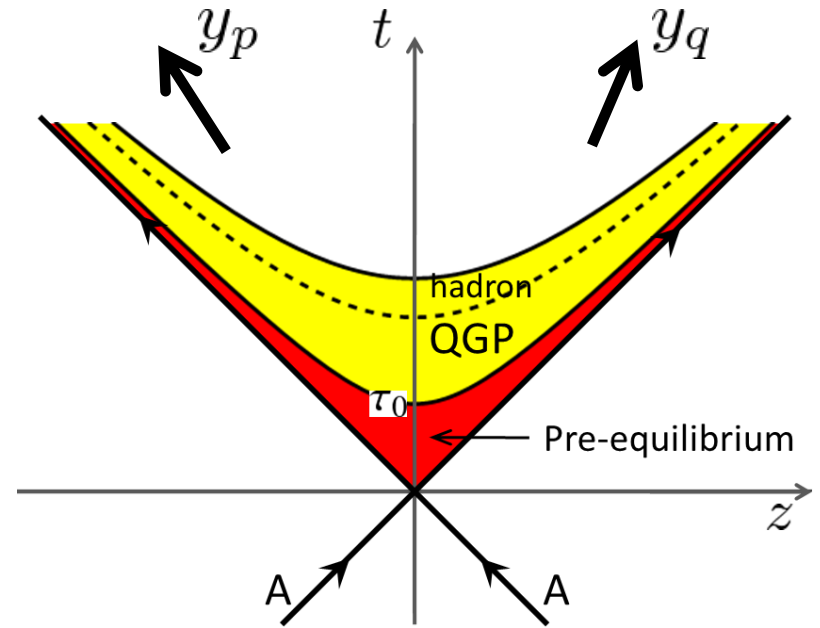
2粒子相關

$$\frac{dN_2}{d^3p d^3q} = \langle 0, \text{in} | a_{\mathbf{p}}^\dagger a_{\mathbf{q}}^\dagger a_{\mathbf{p}} a_{\mathbf{q}} | 0, \text{in} \rangle$$

$$C(y_p, \mathbf{p}_\perp; y_q, \mathbf{q}_\perp) \equiv \frac{\frac{dN_2}{d^2 p_\perp dy_p d^2 q_\perp dy_q} - \frac{dN}{d^2 p_\perp dy_p} \frac{dN}{d^2 q_\perp dy_q}}{\frac{dN}{d^2 p_\perp dy_p} \frac{dN}{d^2 q_\perp dy_q}}$$



near-side ridge phenomena
observed at RHIC and LHC



ラピディティー空間の長距離相関

- 空間一様な電場 (Fukushima-Gelis-Lappi, 2009)

$$\frac{dN_2}{d^3pd^3q} = \frac{dN}{d^3p} \frac{dN}{d^3q} + \left\{ f_{\mathbf{p}}(t) \right\}^2 \frac{V}{(2\pi)^3} \delta^3(\mathbf{p} - \mathbf{q})$$

$$\frac{dN}{d^3p} = f_{\mathbf{p}}(t) \frac{V}{(2\pi)^3}$$

$\mathbf{p} = \mathbf{q}$ のときのみ相関 (Bose-Einstein correlation)

- ブースト不変に膨張する電場

$$\frac{dN_2}{d^2p_{\perp}dy_p d^2q_{\perp}dy_q} = \frac{dN}{d^2p_{\perp}dy_p} \frac{dN}{d^2q_{\perp}dy_q} + \left| \int \frac{d\lambda}{2\pi} e^{-i\lambda(y_p - y_q)} f_{\mathbf{p}_{\perp}, \lambda}(\tau) \right|^2 \frac{L^2}{(2\pi)^2} \delta^2(\mathbf{p}_{\perp} - \mathbf{q}_{\perp})$$

$$\frac{dN}{dy_p d^2p_{\perp}} = \int \frac{d\lambda}{2\pi} f_{p_{\perp}, \lambda}(\tau) \frac{L^2}{(2\pi)^2}$$

$\Delta y = y_p - y_q \neq 0$ でも相関

相関は分布関数のフーリエ変換で与えられる

$$C(y_p, \mathbf{p}_\perp; y_q, \mathbf{q}_\perp) \equiv \frac{\frac{dN_2}{d^2 p_\perp dy_p d^2 q_\perp dy_q} - \frac{dN}{d^2 p_\perp dy_p} \frac{dN}{d^2 q_\perp dy_q}}{\frac{dN}{d^2 p_\perp dy_p} \frac{dN}{d^2 q_\perp dy_q}}$$

$$= \frac{\left| \int \frac{d\lambda}{2\pi} e^{-i\lambda(y_p - y_q)} f_{\mathbf{p}_\perp, \lambda}(\tau) \right|^2}{\left\{ \int \frac{d\lambda}{2\pi} f_{\mathbf{p}_\perp, \lambda}(\tau) \right\}^2} \frac{\delta^2(\mathbf{p}_\perp - \mathbf{q}_\perp)}{L^2/(2\pi)^2}$$

$$C_L(\Delta y, \mathbf{p}_\perp) \equiv \frac{\left| \int \frac{d\lambda}{2\pi} e^{-i\lambda \Delta y} f_{\mathbf{p}_\perp, \lambda}(\tau) \right|^2}{\left\{ \int \frac{d\lambda}{2\pi} f_{\mathbf{p}_\perp, \lambda}(\tau) \right\}^2}$$

横運動量に関しては
短距離相関

ラピディティー空間での相関の距離は
分布関数 $f_{\mathbf{p}_\perp, \lambda}(\tau)$ の λ 空間での広がりの逆数程度

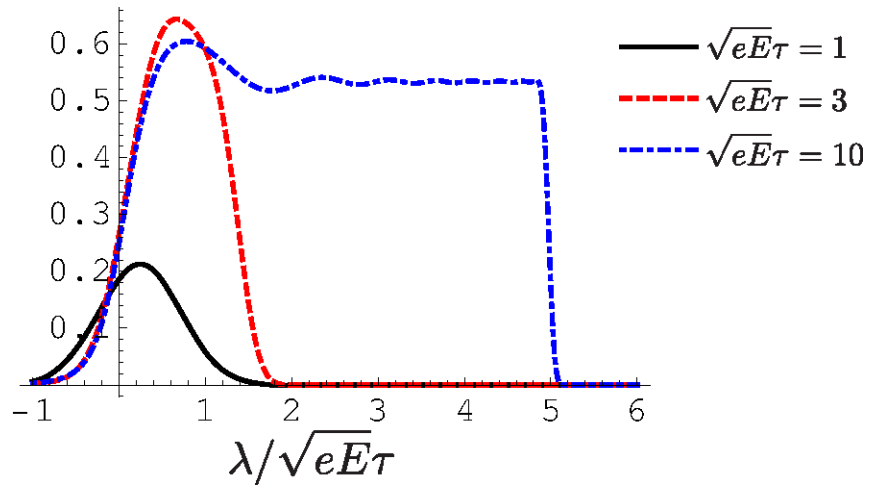
e.g. $f_{\mathbf{p}_\perp, \lambda}(\tau) \propto \delta(\lambda)$  $C_L(\Delta y, \mathbf{p}_\perp) = 1$

速度分布がスケーリング分布
 $v_z = z/t$

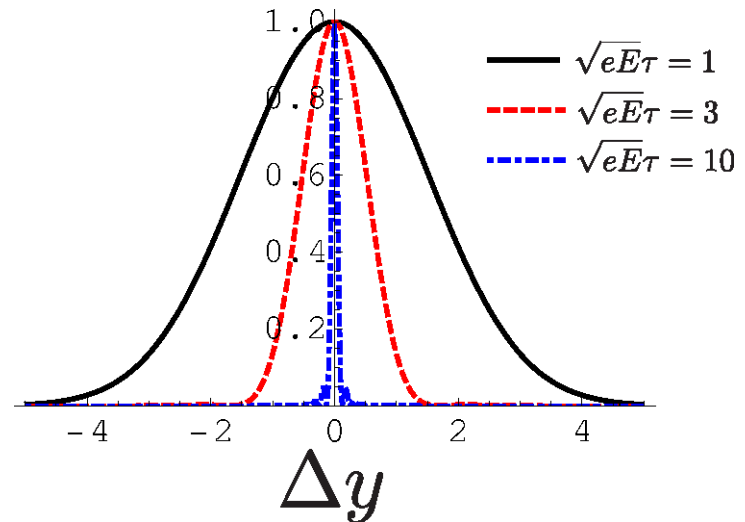
縦方向の長距離相関

ラピディティー相関は長距離になりうるが、ダイナミクスに依る。

相関の時間変化



momentum distribution $f_{p_\perp, \lambda}(\tau)$



rapidity correlation $C_L(\Delta y)$
($p_\perp = 0$)

電場の寿命が短ければ長距離相関が残る

まとめ

- ・強い電場からの非摂動論的粒子対生成による系の実時間発展を記述した。
- ・ブースト不変に膨張する電場からは、始めからBjorken's flowと同じ速度分布を持った粒子が生成される。
- ・ブースト不変に膨張する電場のもとでは、粒子間にラピディティー長距離相関が現れ得る。